



# BCM-TASカップリングソルバーを用いた NASA CRM解析

○ 牧野 真弥, 福島 裕馬, 三坂 孝志, 大林 茂  
(東北大学 流体科学研究所)

廣瀬 拓也, 佐々木 大輔  
(金沢工業大学)

第48回 流体力学講演会/ANSS Aerodynamics Prediction Challenge II  
2016年7月6日 金沢歌劇座

## 発表内容



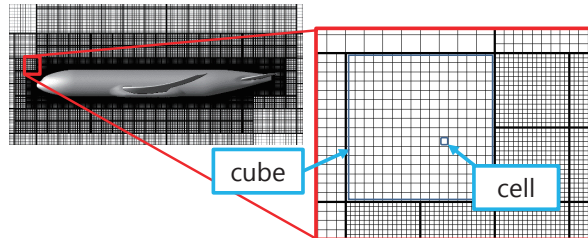
- ✈ BCM-TASカップリングソルバーの紹介
  - BCM, TAS
  - BCM-TASカップリングソルバー
- ✈ 巡航状態及び高迎角時の空力予測（課題1-1）
  - 計算条件, 格子情報
  - 計算結果
- ✈ まとめ

# BCM, TAS



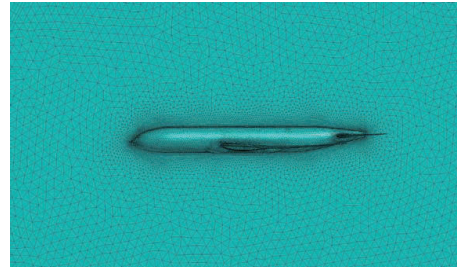
## BCM (Building-Cube Method)

- ・ブロック型直交格子
- ・空間高次精度化が容易
- ・解適合格子細分化が可能
- ・**境界層解像が困難**



## TAS (Tohoku university Aerodynamic Simulation)

- ・非構造格子
- ・**空間高次精度化が困難**
- ・境界層解像
- ⇒ 直交格子より容易



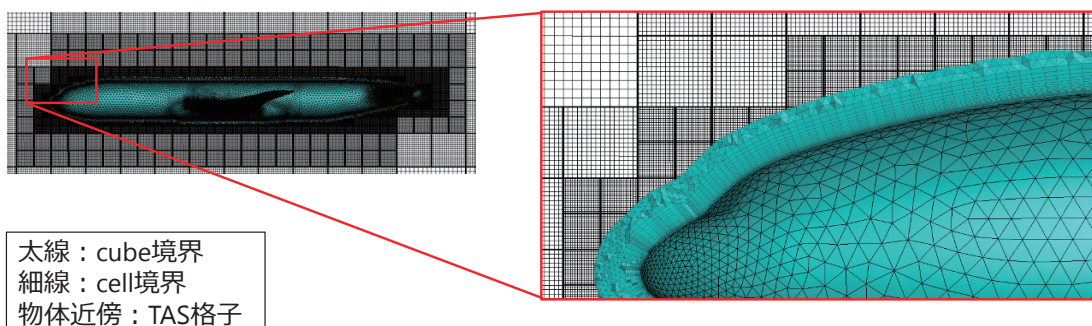
3 / 28

# BCM-TASカップリングソルバー



## BCM-TASカップリングソルバー

- ・物体近傍領域を効率的に解析 : TAS
- ・壁面近傍以外の空間での格子均一性, 空間精度 : BCM



BCM→TAS : Tri-Linear補間  
TAS→BCM : 線形一次式による補間

CRM (Common Research Model )  
 カップリング格子の様子

4 / 28



## 課題1-1：巡航状態及び高迎角時の空力予測

### ✈ 課題1-1

- $M = 0.847, Re_c = 2.26 \times 10^6$
- 迎角 : **-1.79, -0.62, 0.32, 1.39, 2.47, 2.94, 3.55, 4.65, 5.72 deg**
- 格子（尾翼有）：MEGG3D 物体近傍格子 + BCM格子
- 変形 : -0.62 degのケースはオリジナル（変形無）

5 / 28

## 計算条件



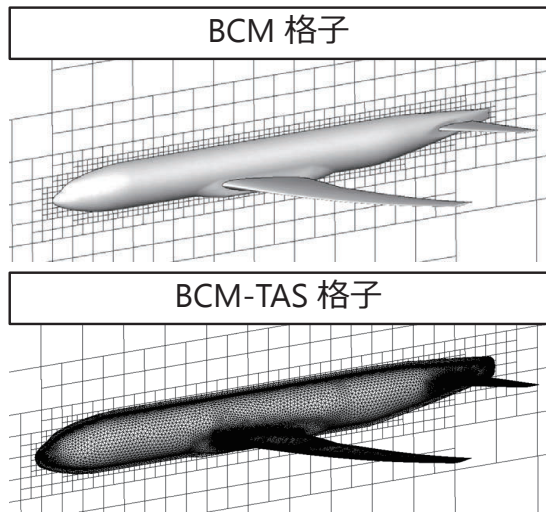
	非構造格子(TAS)	直交格子(BCM)
支配方程式	圧縮性NS方程式	圧縮性Euler方程式
乱流モデル	Spalart-Allmaras	なし
空間スキーム	HLLEW+ 線形再構築	HLLEW+ 3次精度MUSCL
時間スキーム	陰解法	陰解法
並列化	OpenMP	OpenMP

6 / 28

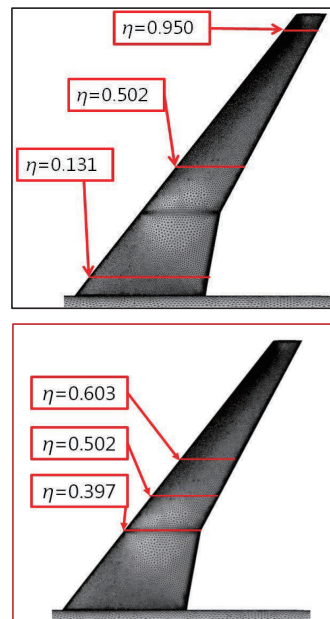


## 格子情報

	node数(TAS)	cell数(BCM)
空力予測解析	約 $1.20 \times 10^7$	約 $4.10 \times 10^7$



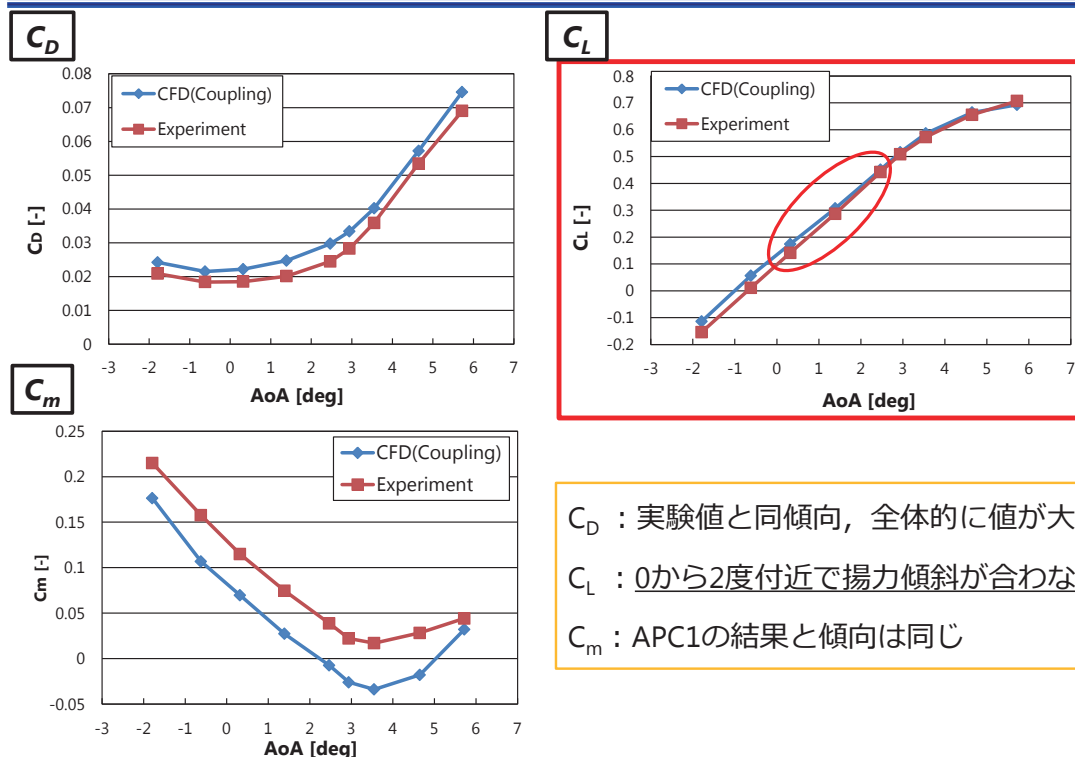
圧力分布取得断面



格子の様子（左：主翼上面TAS格子，右：各解析格子）

7 / 28

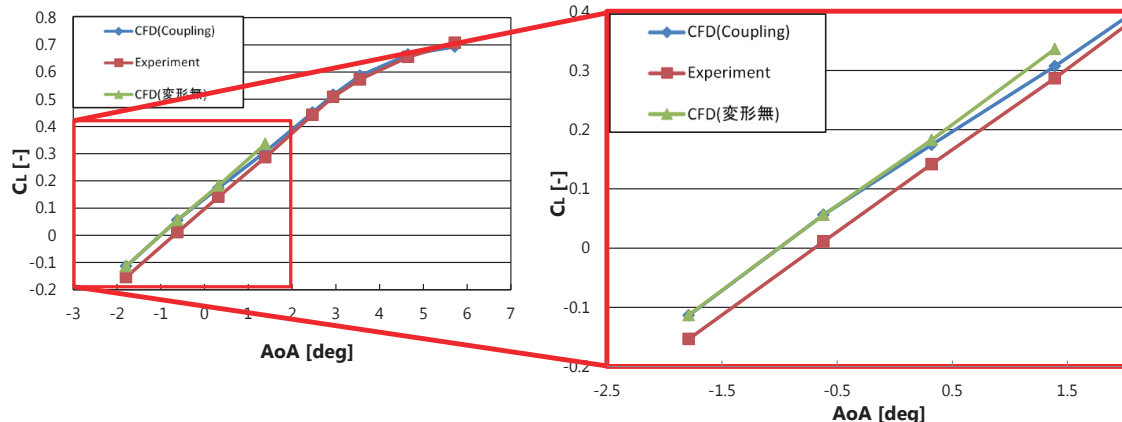
## 空力係数 1 ( $C_D$ , $C_L$ , $C_M$ )



8 / 28



## 空力係数 2 ( $C_D$ , $C_L$ , $C_M$ )

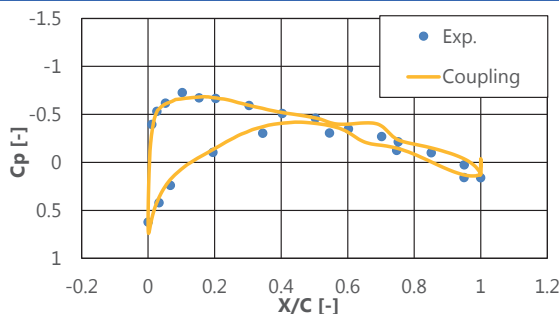


負の迎角 翼変形 有り  
翼変形 無し ⇒ 圧力係数分布はほぼ同じ

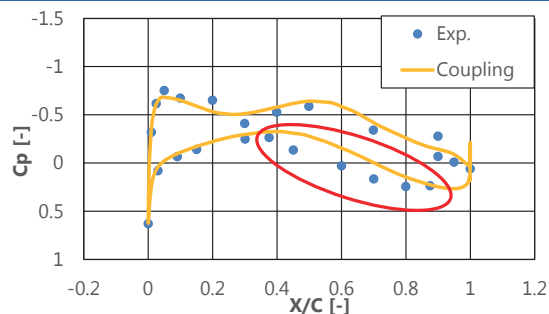
(※ 変形無し :  $C_L$  値は異なるが、揚力傾斜は実験値に近い)

9 / 28

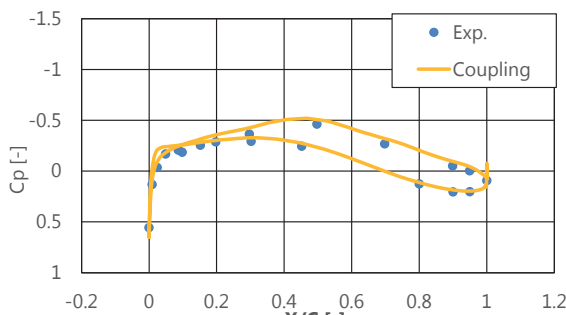
## 圧力係数分布 (1) 1.39[deg]



$\eta=0.131$  断面 (Section A)



$\eta=0.502$  断面 (Section E)



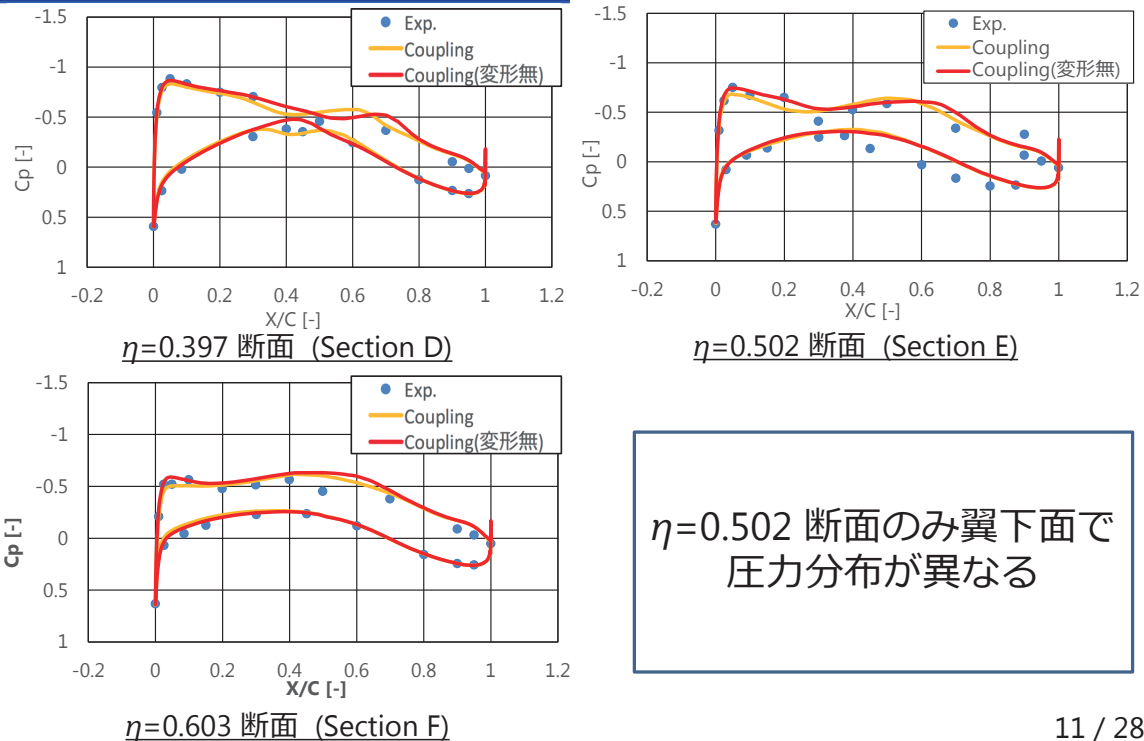
$\eta=0.950$  断面 (Section I)

- 前縁部では実験値と一致
- 翼根、翼端部では概ね一致  
(SectionE : 翼下面で異なる)
- 衝撃波発生位置は概ね予測

10 / 28



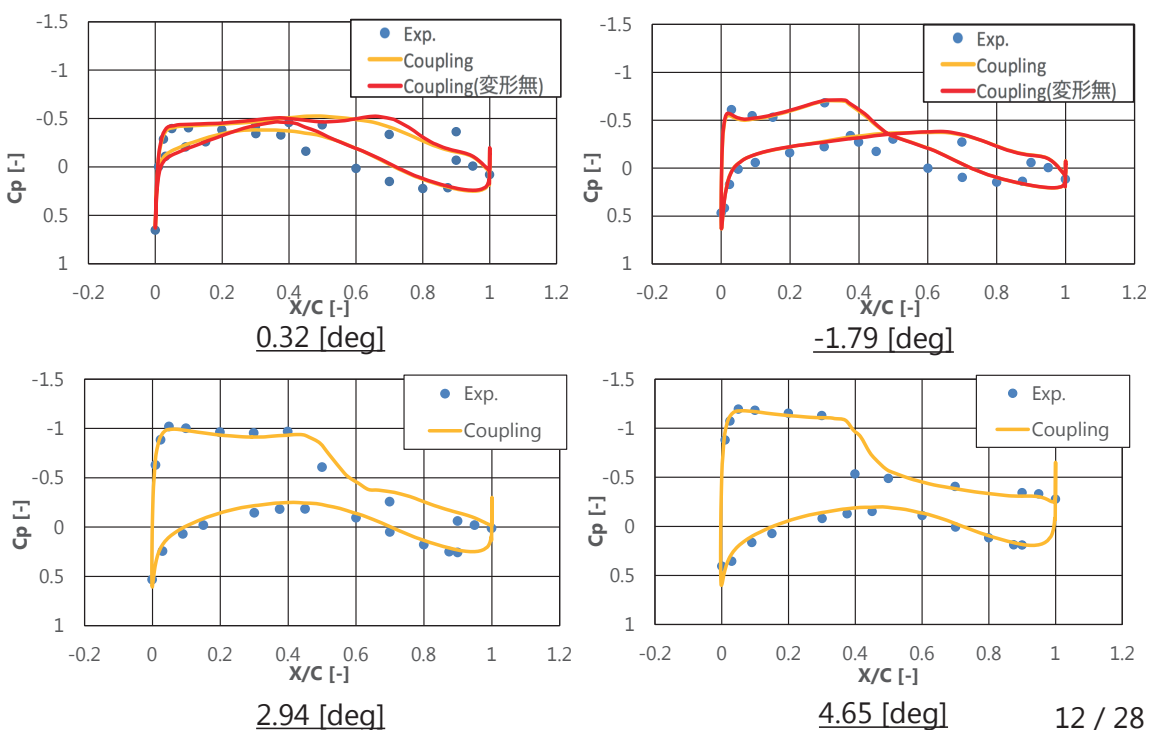
## 圧力係数分布 (2) 1.39[deg]



11 / 28

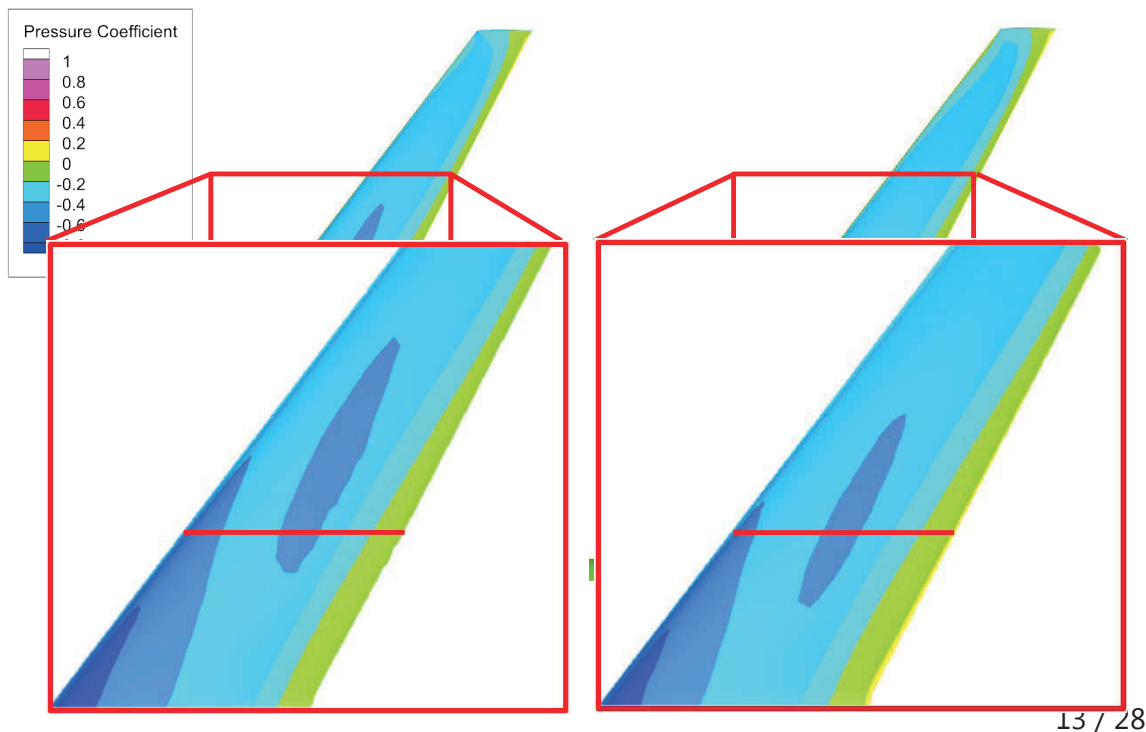
$\eta=0.502$  断面のみ翼下面で  
圧力分布が異なる

## SectionEでの圧力係数分布

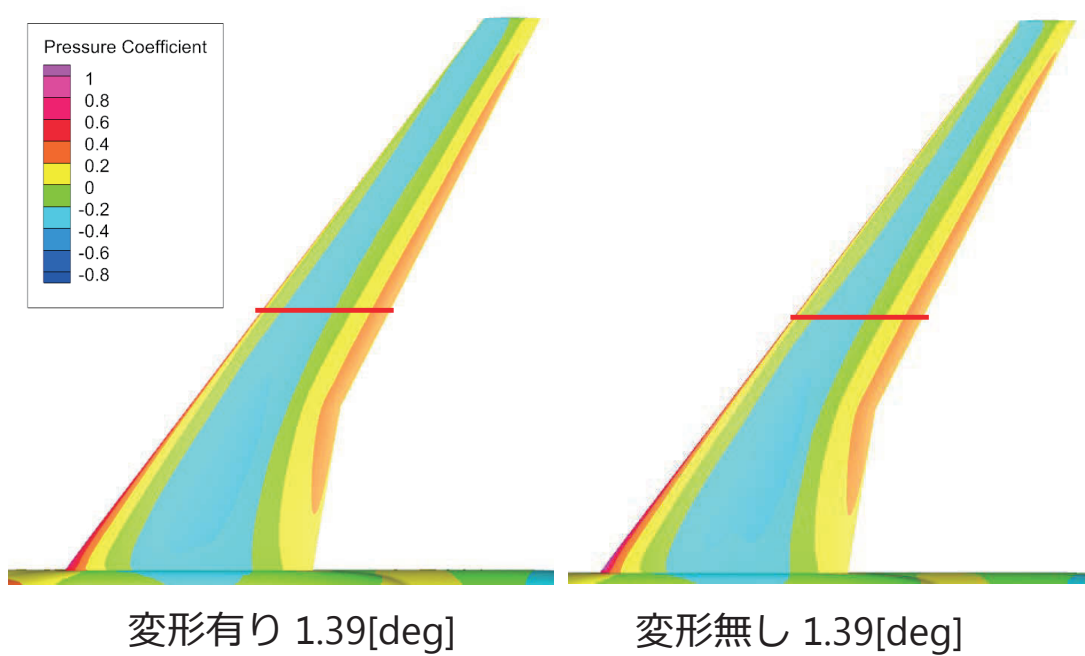


12 / 28

## 圧力コンター図（翼上面）



## 圧力コンター図（翼下面）



## まとめ



- ▲ BCM-TASカップリングソルバーを用いてCRMの空力予測解析を行った（追加迎角分）
- $C_D$ ,  $C_m$  は実験値と同傾向（値のずれは有り）， $C_L$  は低迎角で揚力傾斜が異なる  
⇒ 翼変形無しでは翼変形有りよりも1.39[deg]の $C_L$  が大きくなり，実験に近い揚力傾斜になる
- 負の迎角では翼変形有りと無しで圧力分布はほぼ同じ（ $C_L$  もほぼ同じ）  
⇒ 1.39[deg]では変形を考慮することで圧力係数が実験値に若干近づいた（ $C_L$  の微増）
- 低迎角では変形の有無に関わらずSectionE下面 $C_p$ が合わない  
⇒ 隣のSectionD,F では  $C_p$  が合っている（1.39[deg]）

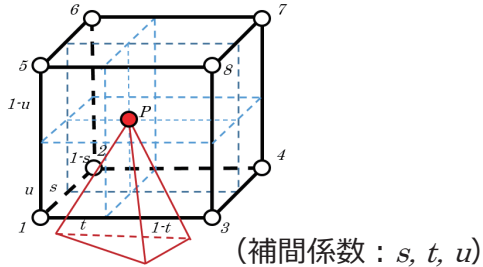
15 / 28

## 補足スライド

16 / 28

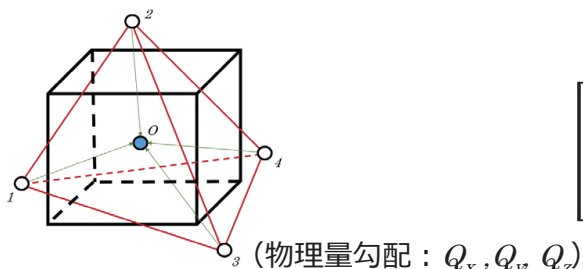
## 補間法

### Tri-Linear補間法 (BCM→TAS)



$$\begin{aligned} Q_p = & (1-u)[(1-t)\{(1-s)Q_1 + sQ_2\} \\ & + t\{(1-s)Q_3 + sQ_4\}] \\ & + u[(1-t)\{(1-s)Q_5 + sQ_6\} \\ & + t\{(1-s)Q_7 + sQ_8\}] \end{aligned}$$

### 線形一次式による補間法 (TAS→BCM)

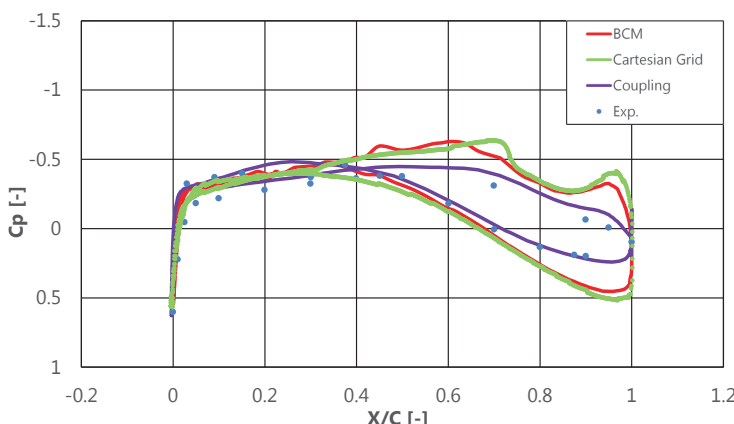


$$Q_o = Q_{AVE} + Q_x x + Q_y y + Q_z z$$

$$\begin{bmatrix} Q_1 \\ Q_2 \\ Q_3 \\ Q_4 \end{bmatrix} = \begin{bmatrix} 1 & x_1 & y_1 & z_1 \\ 1 & x_2 & y_2 & z_2 \\ 1 & x_3 & y_3 & z_3 \\ 1 & x_4 & y_4 & z_4 \end{bmatrix} \begin{bmatrix} Q_{AVE} \\ Q_x \\ Q_y \\ Q_z \end{bmatrix}$$

17 / 28

## 検証計算 -0.62[deg]



BCM	BCM	Cartesian Grid
格子点数	250,060,352	8,401,323

BCM  
BCM単体 非粘性計算  
Cartesian Grid  
玉置, 今村らの非粘性計算 (直交格子)  
Coupling  
BCM-TAS カップリングソルバー

出典：玉置義治, 原田基至, 高橋悠一, 今村太郎,  
階層型直交格子によるNASA-CRM の遷音速空力予測,  
第53回飛行機シンポジウム, 2015

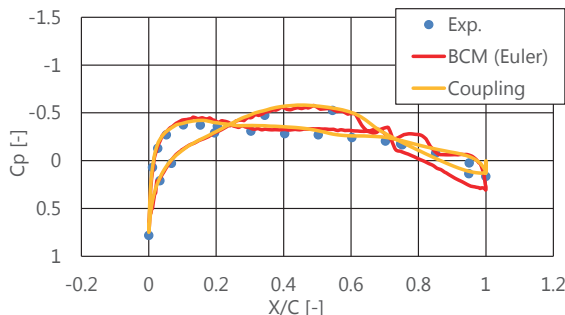
SectionE 断面における圧力係数分布

- 前縁部では Coupling, 実験値と良く一致
  - 衝撃波発生位置では乖離
  - 翼下面 (後縁部) では実験値と乖離
- 玉置, 今村らの非粘性計算と同傾向

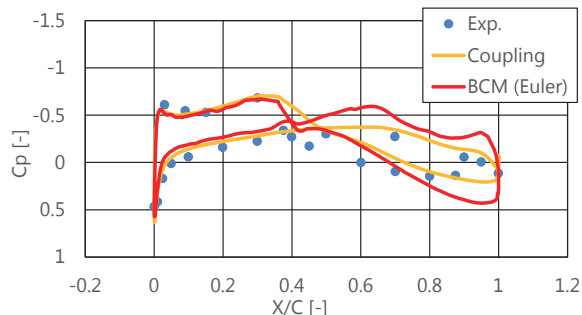
18 / 28



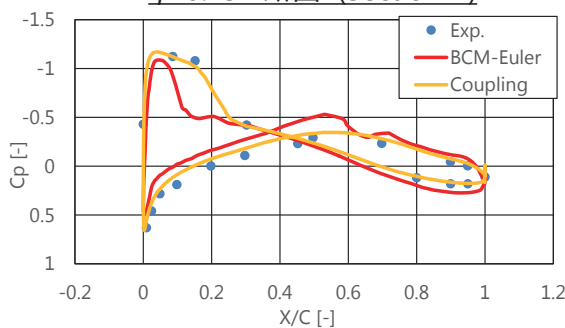
-1.79[deg]



$\eta=0.131$  断面 (Section A)



$\eta=0.502$  断面 (Section E)

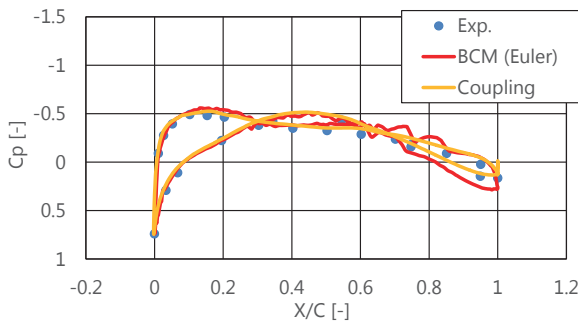


$\eta=0.950$  断面 (Section I)

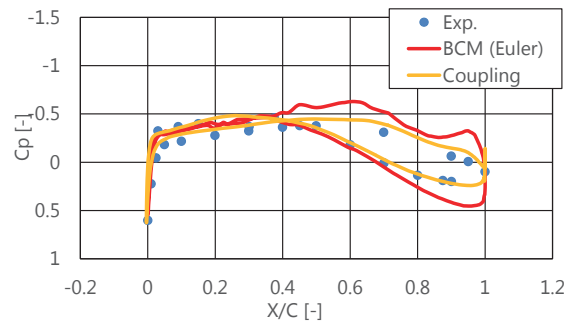
Exp.	: 実験値
BCM (Euler)	: BCM単体 非粘性計算
Coupling	: BCM-TAS カップリングソルバー

19 / 28

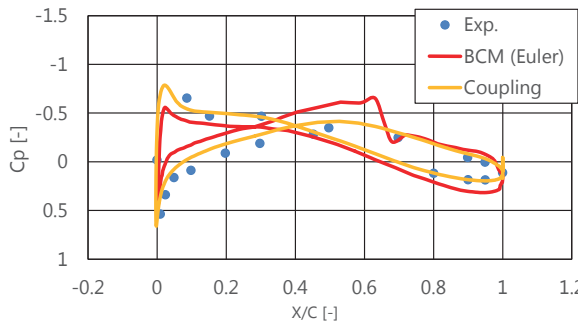
-0.62[deg]



$\eta=0.131$  断面 (Section A)



$\eta=0.502$  断面 (Section E)



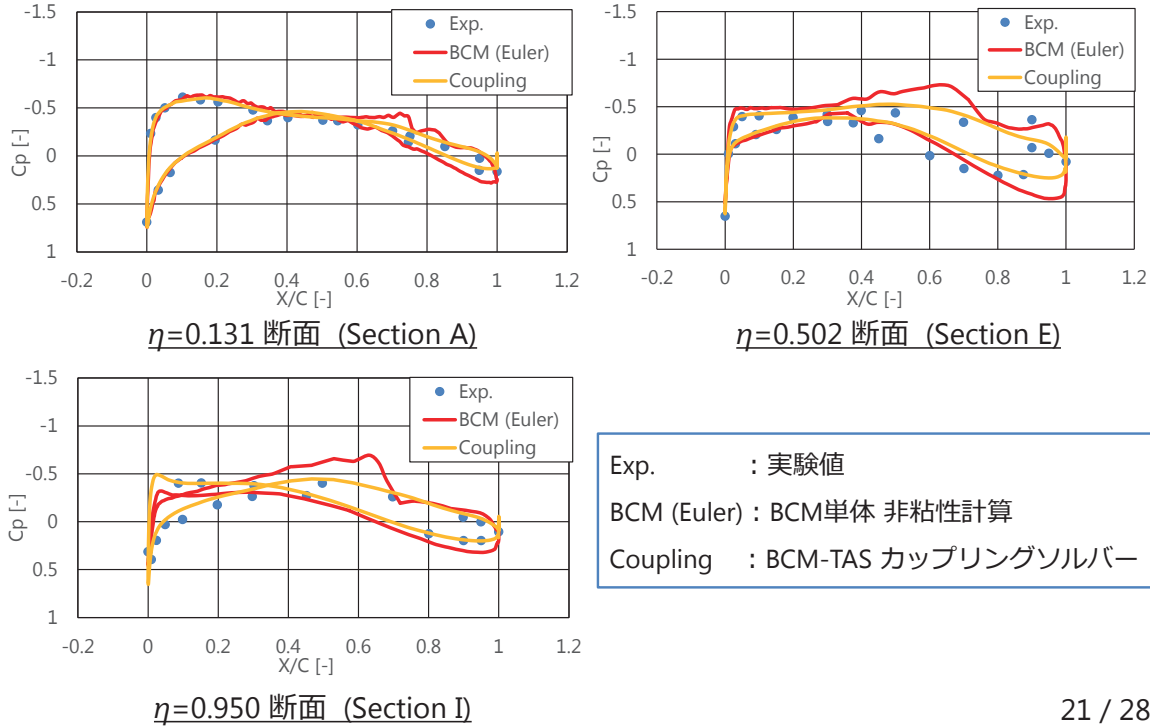
$\eta=0.950$  断面 (Section I)

Exp.	: 実験値
BCM (Euler)	: BCM単体 非粘性計算
Coupling	: BCM-TAS カップリングソルバー

20 / 28



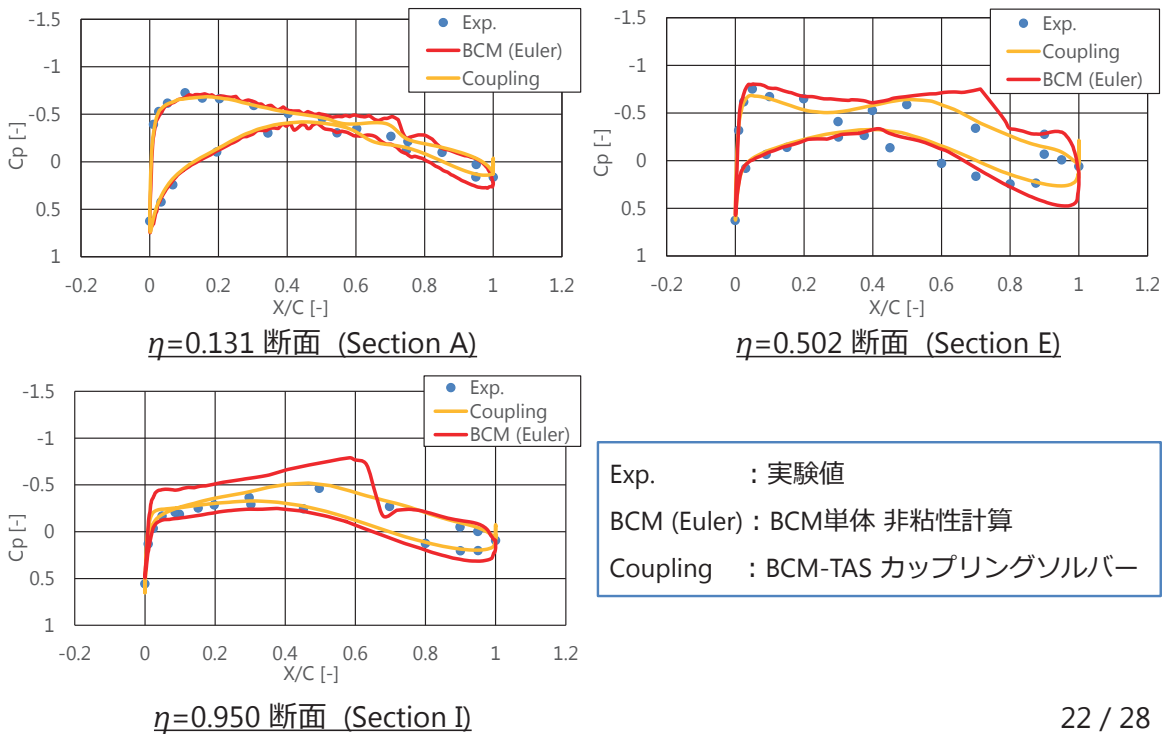
0.32[deg]



Exp. : 実験値  
 BCM (Euler) : BCM単体 非粘性計算  
 Coupling : BCM-TAS カップリングソルバー

21 / 28

1.39[deg]

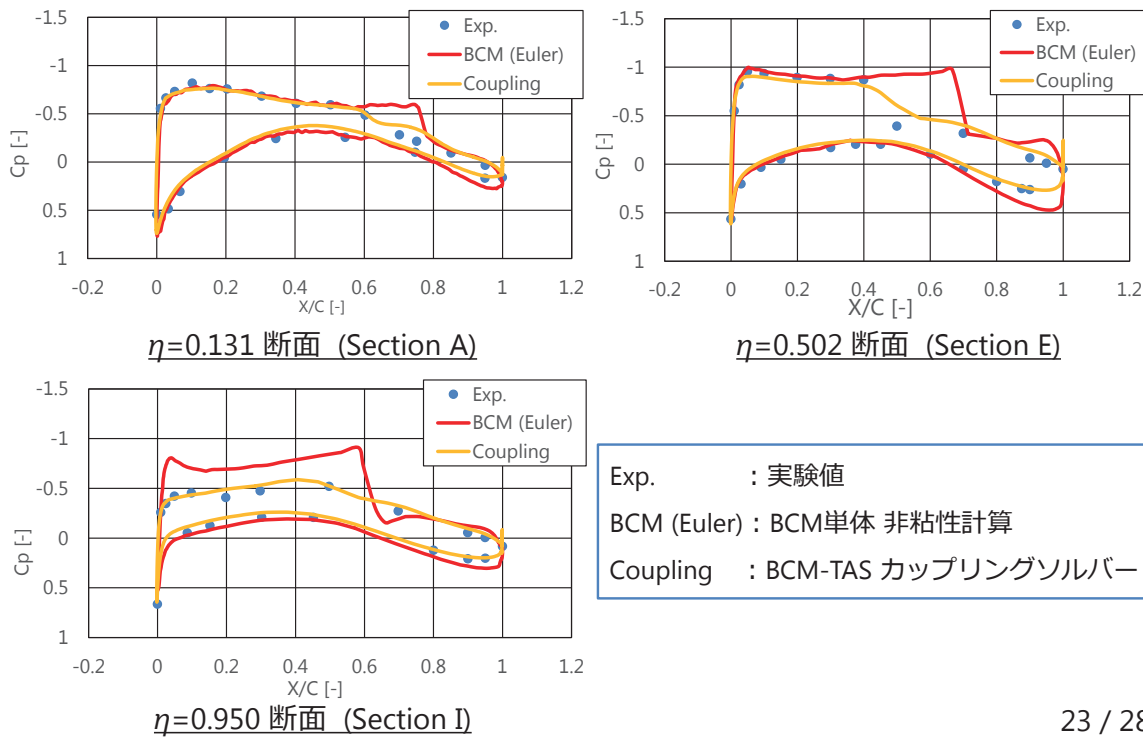


Exp. : 実験値  
 BCM (Euler) : BCM単体 非粘性計算  
 Coupling : BCM-TAS カップリングソルバー

22 / 28

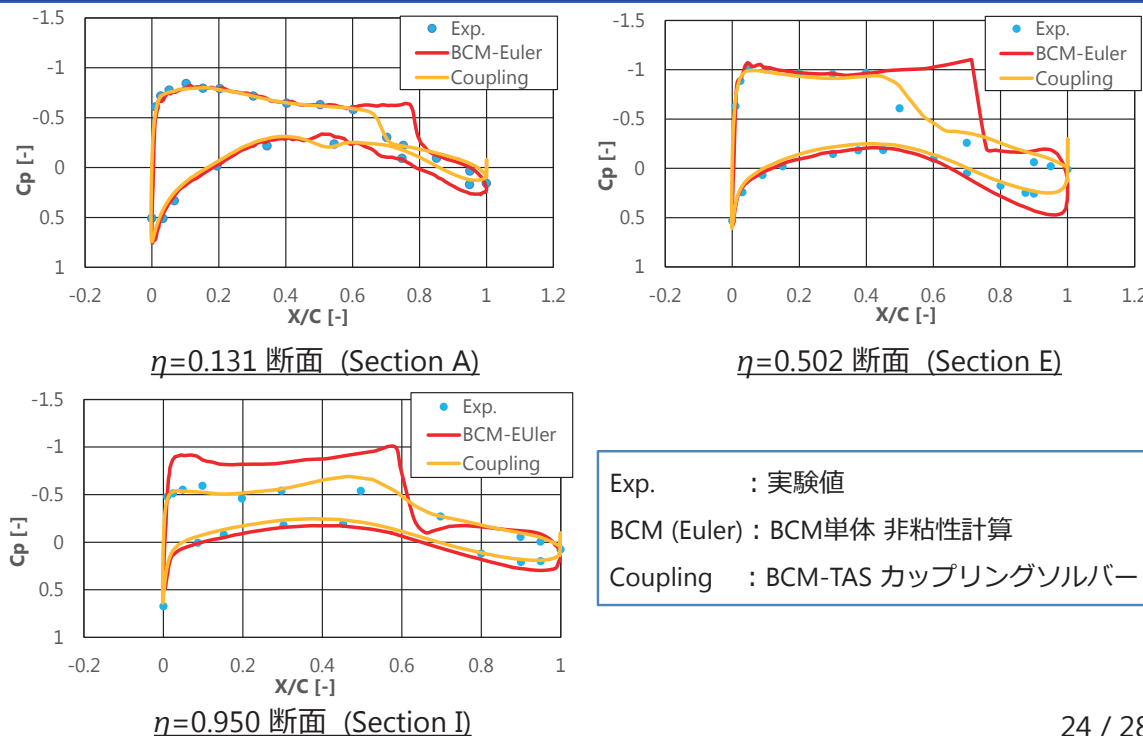


## 2.47[deg]



23 / 28

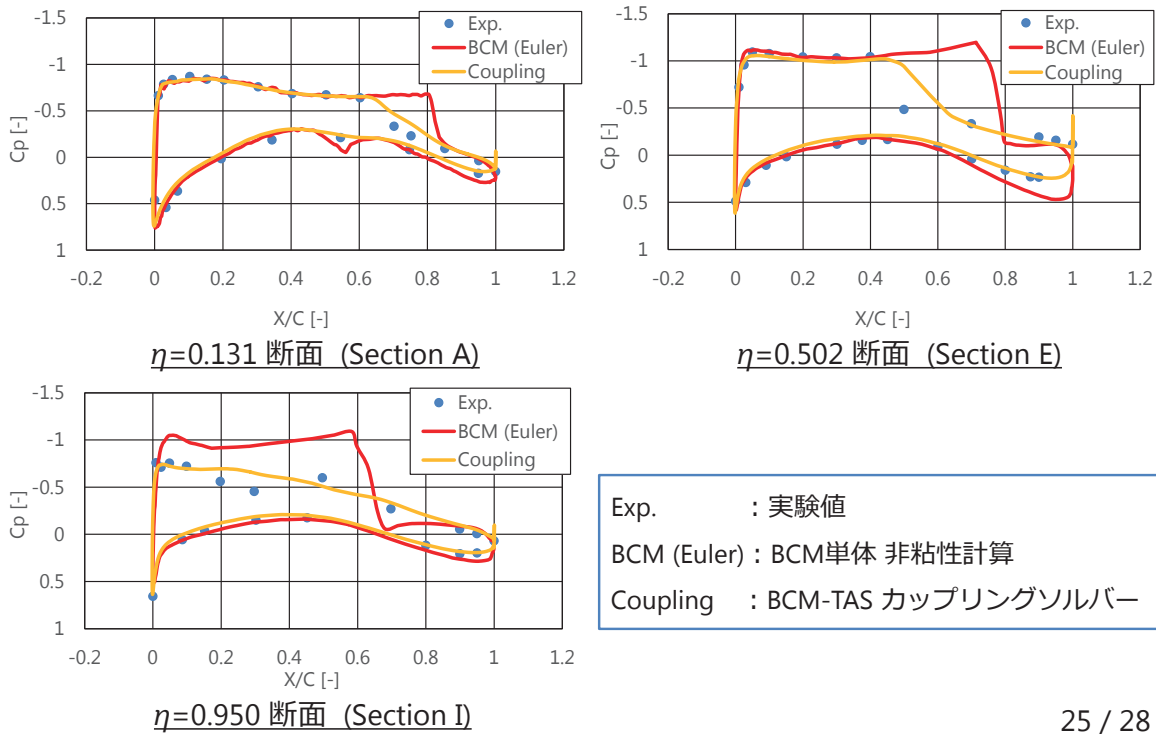
## 2.94[deg]



24 / 28

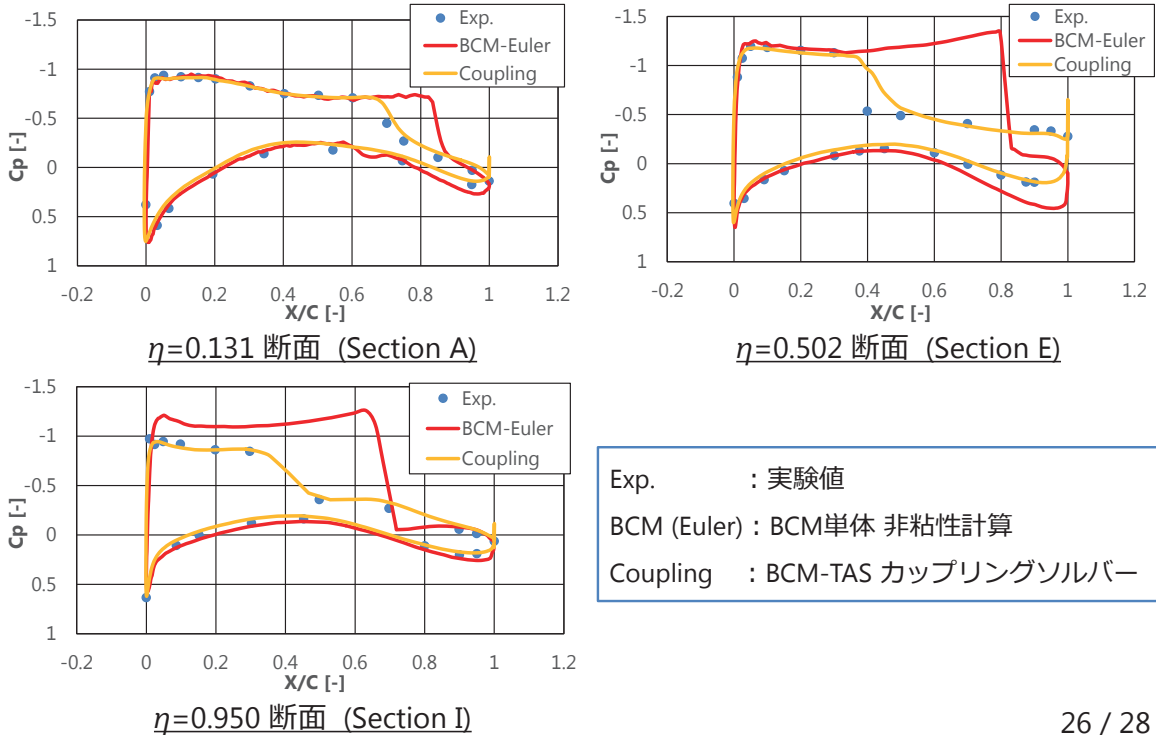


# 3.55[deg]



25 / 28

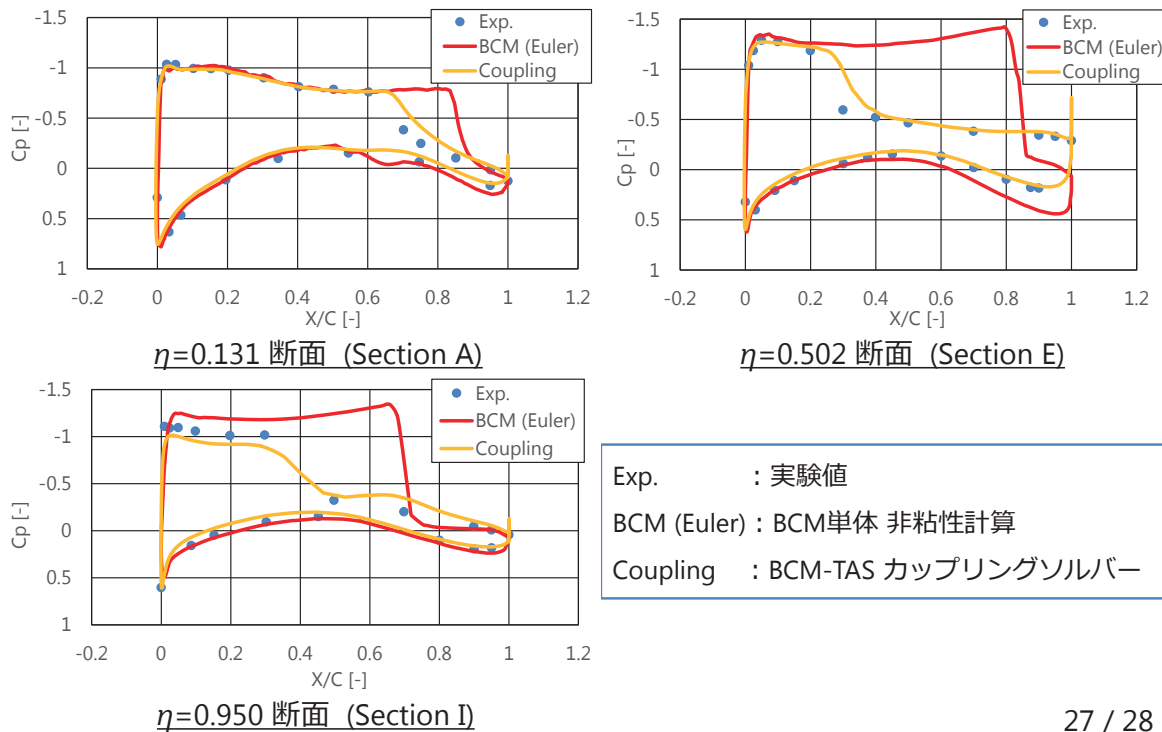
# 4.65[deg]



26 / 28

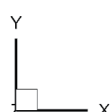
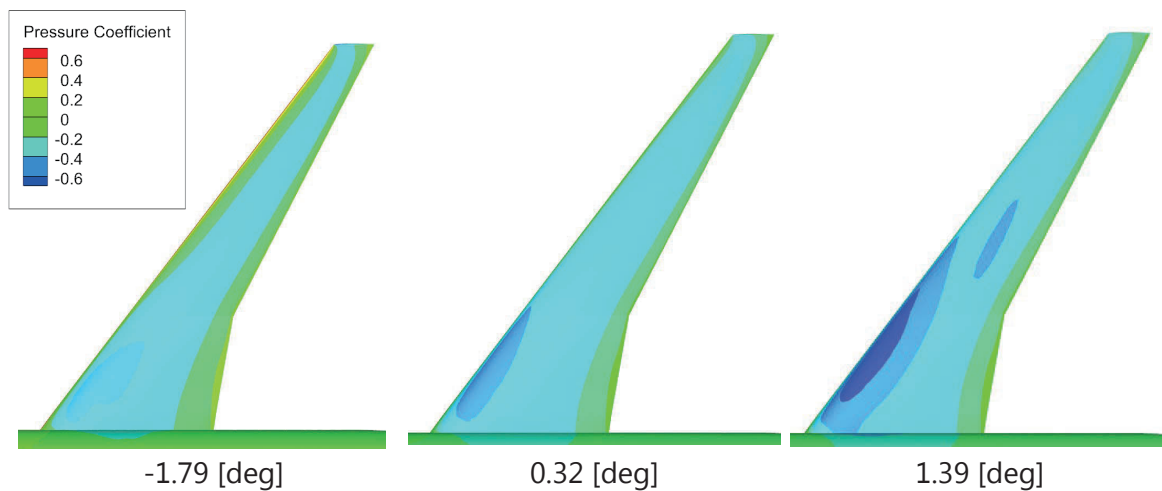


## 5.72[deg]



27 / 28

## 圧力コンター図



28 / 28